

УДК 539.3

ФУНДАМЕНТАЛЬНЫЕ РЕШЕНИЯ ЗАДАЧ ДЛЯ РАСТУЩЕГО ТЕЛА
В ФОРМЕ ЧЕТВЕРЬПЛОСКОСТИ

АРУТИЮНЯН Н. Х.

Исследуются задачи о действии сосредоточенной силы на растущую упругую или вязкоупругую четвертьплоскости в условиях старения. Фундаментальные решения даются в квадратурах. Приводится анализ полученных результатов.

1. Задача о растущей упругой четвертьплоскости. Рассмотрим задачу о действии сосредоточенной силы $P(t)$ на растущую упругую четвертьплоскость. В момент времени $t=0$ она занимает область $\{x_1 \geq 0, x_2 \geq -b(0) = -b_0\}$, сила приложена в начале координат параллельно оси x_1 . В тот же момент времени начинается наращивание четвертьплоскости ненапряженными элементами, причем в каждый момент времени t она занимает область $\{x_1 \geq 0, x_2 \geq -b(t)\}$ (фиг. 1). Заметим, что исследуемое напряженное состояние тела не зависит от упругих постоянных материала, а, значит, одинаково во всех случаях плоской задачи (плоская деформация, плоское напряженное и обобщенное плоское напряженное состояния). Для определенности рассмотрим случай плоской деформации.

В системе координат (x_1, x_2) имеем следующие уравнения и граничные условия [1]:

$$\begin{aligned} \sigma_{ij,j} &= 0, \quad \varepsilon_{ij} = (1+\nu)(\sigma_{ij} - \nu\delta_{ij}\sigma_{kk})/E \quad (i, j, k = 1, 2) \\ \varepsilon_{ij} &= \frac{1}{2}(u_{i,j} + u_{j,i}) \quad (x_2 \geq -b_0) \end{aligned} \quad (1.1)$$

$$\varepsilon_{ij} = \frac{1}{2}(u_{i,j} + u_{j,i}) \quad (-b(t) \leq x_2 \leq -b_0) \quad (1.2)$$

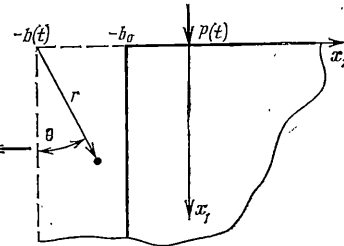
$$\begin{aligned} x_1 = 0: \quad \sigma_{11} &= -P(t)\delta(x_2), \quad \sigma_{12} = 0 \\ x_2 = -b(t): \quad \sigma_{22} &= \sigma_{12} = 0 \quad (t=0), \quad \sigma_{22} = \sigma_{12} = 0 \quad (t \geq 0) \end{aligned} \quad (1.3)$$

где σ_{ij} , ε_{ij} и u_i — компоненты тензоров напряжения, деформации и вектора перемещения, зависящие от координат x_1 , x_2 и времени t , E и ν — модуль упругости и коэффициент Пуассона, δ_{ij} — символ Кронекера, $\delta(x_2)$ — дельта-функция Дирака. Точкой обозначены скорости соответствующих величин.

Соотношения (1.1)–(1.3) представляют собой начально-краевую задачу теории наращивания для четвертьплоскости ($t \geq 0, x_2 \geq -b(t)$). Обозначим момент присоединения приращиваемых элементов четвертьплоскости через $\tau^*(x_2)$ ($x_2 \leq -b_0$). В силу отсутствия пред напряжения (натяга) этих элементов имеем

$$\sigma_{ij}(x_1, x_2, \tau^*(x_2)) = 0 \quad (1.4)$$

Дифференцируя по времени выражения (1.1) и первое из граничных



Фиг. 1

условий (1.3), после некоторых преобразований получим

$$\begin{aligned}\sigma_{ij} &= 0, \quad \Delta(\sigma_{11} + \sigma_{22}) = 0 \\ \Delta &= \partial^2/\partial x_1^2 + \partial^2/\partial x_2^2 \quad (t \geq 0, x_2 \geq -b(t)) \\ x_1 = 0: \quad \sigma_{11} &= -P(t)\delta(x_2), \quad \sigma_{12} = 0 \\ x_2 = -b(t): \quad \sigma_{22} &= \sigma_{12} = 0\end{aligned}\quad (1.5)$$

Решение задачи (1.5) удобно искать в полярных координатах (r, θ) (см. фиг. 1), где уравнения и граничные условия примут вид

$$\begin{aligned}\partial\varphi_r/\partial r + r^{-1}\partial\varphi_{r\theta}/\partial\theta + (\varphi_r - \varphi_\theta)/r &= 0 \\ \partial\varphi_{r\theta}/\partial r + r^{-1}\partial\varphi_\theta/\partial\theta + 2\varphi_{r\theta}/r &= 0 \\ \Delta*(\varphi_r + \varphi_\theta) &= 0, \quad \Delta* = \frac{\partial^2}{\partial r^2} + \frac{1}{r}\frac{\partial}{\partial r} + \frac{1}{r^2}\frac{\partial^2}{\partial\theta^2} \\ \theta = \pi/2: \quad \varphi_\theta &= -f(t)\delta(r - b(t)), \quad \varphi_{r\theta} = 0 \\ \theta = 0: \quad \varphi_\theta &= \varphi_{r\theta} = 0\end{aligned}\quad (1.6)$$

Здесь $\varphi_r = \varphi_r(r, \theta, t)$ и т. д. — компоненты тензора скоростей напряжений в выбранной системе координат, $f(t) = P(t)$ — скорость изменения приложенной силы.

Применяя к (1.6) преобразование Меллина [2], получим решение в форме контурных интегралов

$$\begin{aligned}\varphi_r &= G\{(s+1)\sin(\pi s/2)[2\cos s\theta \cos\theta - (s+1)\sin s\theta \sin\theta] - \\ &\quad - s\cos(\pi s/2)[\sin s\theta \cos\theta + (s+2)\cos s\theta \sin\theta]\} \\ \varphi_\theta &= G\{(s^2-1)\sin(\pi s/2)\sin s\theta \sin\theta + \\ &\quad + s\cos(\pi s/2)(s\sin\theta \cos\theta - \sin s\theta \cos\theta)\} \\ \varphi_{r\theta} &= G\{[\sin(\pi s/2)(s\sin\theta \cos\theta + \sin s\theta \cos\theta) - \\ &\quad - s\cos(\pi s/2)\sin s\theta \sin\theta](s+1)\} \\ G\{g(s)\} &= \int_{\Gamma} g(s)A(r, t, s)ds \\ A(r, t, s) &= if(t)b^s(t)/[2\pi(s^2 - \sin^2(\pi s/2))r^{s+1}]\end{aligned}\quad (1.7)$$

Здесь интегрирование проводится по прямой Γ , параллельной мнимой оси и расположенной левее нуля, но правее первого корня знаменателя с отрицательной действительной частью. Отметим, что точка $s=0$ для φ_θ и $\varphi_{r\theta}$ является устранимой особой точкой, а для φ_r — простым полюсом. Корни знаменателя подынтегральных выражений известны [2]. Таким образом, значения интегралов вычисляются с помощью теоремы о вычетах (см., например, [3]), причем при $r < b(t)$ замыкаем контур влево, а при $r > b(t)$ — вправо.

Переходя к системе координат (x_1, x_2) , получим ($\psi_{ij} = \sigma_{ij}(x_1, x_2, t)$):

$$\begin{aligned}\psi_{11} &= [\varphi_r x_1^2 + \varphi_\theta(x_2 + b(t))^2 - 2\varphi_{r\theta} x_1(x_2 + b(t))]r^{-2} \quad (1.8) \\ \psi_{22} &= [\varphi_r(x_2 + b(t))^2 + \varphi_\theta x_2^2 + 2\varphi_{r\theta} x_1(x_2 + b(t))]r^{-2} \\ \psi_{12} &= [\varphi_{r\theta}(x_1^2 - (x_2 + b(t))^2) + (\varphi_r - \varphi_\theta)x_1(x_2 + b(t))]r^{-2} \\ r &= [x_1^2 + x_2^2 + b^2(t) + 2x_2 b(t)]^{1/2}, \quad \theta = \arccos(x_1/r)\end{aligned}$$

где φ_r , φ_θ и $\varphi_{r\theta}$ определяются по формулам (1.7).

Итак, компоненты тензора скоростей напряжений в неподвижной системе координат определены. Значения $\sigma_{ij}(x_1, x_2, 0)$ найдем из решения упругой задачи при $t=0$. Выражения для них получим, положив в (1.7), (1.8) $t=0$, $b(0)=b_0$, $f(0)=P(0)$, $\varphi_r=\sigma_s(r, \theta, 0)$ и т. д., $\psi_{ij}=\sigma_{ij}(x_1, x_2, 0)$. Окончательно для компонент тензора напряжений имеем (см. (1.4)):

$$\sigma_{ij}(x_1, x_2, t) = \sigma_{ij}(x_1, x_2, 0) + \int_0^t \sigma_{ij}(x_1, x_2, \tau) d\tau \quad (x_2 \geq -b_0, x_1 \geq 0)$$

$$\sigma_{ij}(x_1, x_2, t) = \int_{\tau^*(x_2)}^t \sigma_{ij}^*(x_1, x_2, \tau) d\tau \quad (-b(t) \leq x_2 \leq -b_0, \quad x_1 \geq 0) \quad (1.9)$$

$$\tau^*(-b(t)) = t, \quad \tau^*(-b_0) = 0$$

Соотношения (1.9), в частности, показывают, что при непрерывно дифференцируемых по времени функциях $P(t)$ ($P(0) \neq 0$) и $b(t)$ напряжения σ_{22} и σ_{12} непрерывны по каждой из переменных во всем теле (см. (1.3)), а σ_{11} претерпевает скачок на линии $x_2 = -b_0$. При снятии нагрузки в четвертьплоскости появляются остаточные напряжения. Отметим также, что при произвольной кусочно-непрерывной функции $P(t)$ дифференцирование по времени следует понимать в обобщенном смысле [1, 4].

2. Задача о растущей вязкоупругой стареющей четвертьплоскости. Рассмотрим теперь стареющую вязкоупругую четвертьплоскость, изготовленную в момент времени $t=0$. В момент τ_0 в начале координат (x_1, x_2) (см. фиг. 1) к ней прикладывается сосредоточенная сила $P(t)$ и в момент τ_1 начинается наращивание по закону, описанному в п. 1. Считаем, что коэффициенты Пуассона упругомгновенной деформации и деформации ползучести материала тела совпадают и равны постоянной величине ν . Напряженное состояние изучаемой плоской задачи не зависит от ν , поэтому для определенности рассмотрим случай плоской деформации.

От момента приложения нагрузки τ_0 до момента начала наращивания τ_1 , поставленная задача описывается следующими уравнениями и граничными условиями ($\tau_0 \leq t \leq \tau_1$):

$$\begin{aligned} \sigma_{ij,j} &= 0, \quad \varepsilon_{ij} = \frac{1}{2}(u_{i,j} + u_{j,i}) \\ \varepsilon_{ij} &= (1+\nu)(\mathbf{I} - \mathbf{L}_{\tau_0}^t)(\sigma_{ij} - \nu \delta_{ij} \sigma_{kk}) / E \\ (\mathbf{I} - \mathbf{L}_{\tau_0}^t) \frac{\omega(t)}{E} &= \frac{\omega(t)}{E(t)} - \int_{\tau_0}^t \frac{\omega(\tau)}{E(\tau)} K(t, \tau) d\tau \quad (2.1) \\ K(t, \tau) &= E(\tau) \partial/\partial\tau [1/E(\tau) + C(t, \tau)] \\ x_1 = 0: \quad \sigma_{11} &= -P(t) \delta(x_2), \quad \sigma_{12} = 0 \\ x_2 = -b(t) = -b_0: \quad \sigma_{22} &= \sigma_{12} = 0 \end{aligned}$$

где помимо ранее определенных в п. 1 величин, $E(t)$ — упругомгновенный модуль деформации, $K(t, \tau)$ и $C(t, \tau)$ — ядро и мера ползучести при основном напряженном состоянии, определяемые из опытов.

Соотношения (2.1) представляют обычную задачу теории ползучести, для которой справедливы принципы соответствия [5], т. е. напряжения в четвертьплоскости в условиях ползучести совпадают с напряжениями для соответствующей упругой задачи.

Выражения для напряжения при $\tau_0 \leq t \leq \tau_1$ найдем, полагая в (1.7), (1.8) $b(t) = b_0$, $f(t) = P(t)$, $\varphi_r = \sigma_r(r, \theta, t)$ и т. д., $\Psi_{ij} = \sigma_{ij}(x_1, x_2, t)$.

Для задачи наращивания вязкоупругой четвертьплоскости при $t \geq \tau_1$ имеем

$$\begin{aligned} \sigma_{ij,j} &= 0, \quad \varepsilon_{ij} = \frac{1}{2}(u_{i,j} + u_{j,i}) \\ \varepsilon_{ij} &= (1+\nu)(\mathbf{I} - \mathbf{L}_{\tau_0(x_2)}^t)(\sigma_{ij} - \nu \delta_{ij} \sigma_{kk}) / E \\ \tau^*(x_2) &= \tau_0 h(x_2 + b_0) + \tau^*(x_2) h(-x_2 - b_0) \quad (2.2) \\ x_1 = 0: \quad \sigma_{11} &= -P(t) \delta(x_2), \quad \sigma_{12} = 0 \\ x_2 = -b(t): \quad \sigma_{22} &= \sigma_{12} = 0 \end{aligned}$$

Здесь, как и прежде, $\tau^*(x_2)$ — момент присоединения приращиваемых элементов к четвертьплоскости, $h(x_2)$ — функция Хевисайда.

Положим $\sigma_{ij}^* = (\mathbf{I} - \mathbf{L}_{\tau^*(x_2)}^t) \sigma_{ij} / E$ и подействуем оператором дивергенции на σ_{ij}^* . Тогда

$$\begin{aligned} \sigma_{ij,j}^* &= (\mathbf{I} - \mathbf{L}_{\tau_0(x_2)}^t) \sigma_{ij,j} / E + \sigma_{12}(x_1, x_2, \tau^*(x_2)) E^{-1}(\tau^*(x_2)) K(t, \tau^*(x_2)) d\tau^*(x_2) / dx_2 \\ d\tau^*(x_2) / dx_2 &= h(-x_2 - b_0) d\tau^*(x_2) / dx_2 + (\tau_0 - \tau_1) \delta(x_2 + b_0) \end{aligned}$$

Отсюда с учетом уравнений равновесия, условий ненапряженности приращиваемых элементов (1.4) и того факта, что напряжения $\sigma_{ij}(x_1, x_2, \tau^*(x_2))$ ($i=1, 2$) в окрестности точки $x_2=-b_0$ непрерывны и равны в ней нулю (см. (2.1)), получим

$$\sigma_{ij,j}^{\circ}=0 \quad (2.3)$$

При выводе (2.3) использовались следующие сведения из теории обобщенных функций (они потребуются и в дальнейшем): $h'(x)=\delta(x)$ (штрихом обозначена производная по x); если функция $a(x)$ непрерывна в окрестности точки $x=0$, то $a(x)\delta(x)=a(0)\delta(x)$ [4].

Обращаясь к граничным условиям задачи (2.2), найдем

$$\begin{aligned} x_1=0: \sigma_{11}^{\circ} &= -\delta(x_2)(I-L_{\tau_0}^t)P(t)/E, \quad \sigma_{12}^{\circ}=0 \\ x_2=-b(t): \sigma_{22}^{\circ} &= \sigma_{12}^{\circ}=0 \end{aligned} \quad (2.4)$$

Последнее условие с учетом (1.4), (2.2) и $\tau^*(-b(t))=t$ следует из равенства

$$\begin{aligned} \sigma_{12}^{\circ} &= \frac{\sigma_{12}(x_1, x_2, t)}{E(t)} + \int_{\tau^*(x_2)}^t \frac{\sigma_{12}(x_1, x_2, \tau)}{E(\tau)} \frac{\partial C(t, \tau)}{\partial t} d\tau + \\ &+ \sigma_{12}(x_1, x_2, \tau^*(x_2)) \frac{\partial C(t, \tau^*(x_2))}{\partial t} \quad (x_2 \leq -b_0, i=1, 2) \end{aligned}$$

Дифференцируя по t уравнения (2.3), первое соотношение (2.4) и уравнение состояния из (2.2), после некоторых преобразований получим

$$\begin{aligned} \sigma_{ij,j}^{\circ} &= 0, \quad \Delta(\sigma_{11}^{\circ} + \sigma_{22}^{\circ}) = 0 \quad (2.5) \\ x_1=0: \sigma_{11}^{\circ} &= -\delta(x_2)N(t), \quad \sigma_{12}^{\circ}=0 \\ N(t) &= \frac{P^*(t)}{E(t)} + \int_{\tau_0}^t P^*(\tau) \frac{\partial C(t, \tau)}{\partial t} d\tau + P(\tau_0) \frac{\partial C(t, \tau_0)}{\partial t} \\ x_2=-b(t): \sigma_{22}^{\circ} &= \sigma_{12}^{\circ}=0 \quad (t \geq \tau_1, x_2 \geq -b(t)) \end{aligned}$$

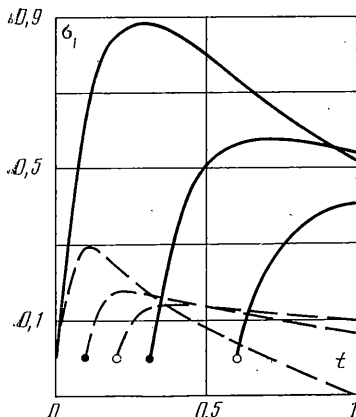
Решение задачи (2.5) аналогично решению краевой задачи (1.5), причем выражения для σ_{ij} можно получить, полагая в (1.7), (1.8) $\varphi_r=\sigma_r^{\circ}(r, \theta, t)$ и т. д., $f(t)=N(t)$, $\psi_{ij}=\sigma_{ij}^{\circ}(x_1, x_2, t)$. Формула для σ_{ij}° имеет вид

$$\sigma_{ij}^{\circ}=\sigma_{ij}^{\circ}(x_1, x_2, \tau^*(x_2)) + \int_{\tau^*(x_2)}^t \sigma_{ij}^{\circ}(x_1, x_2, \tau) d\tau \quad (t \geq \tau_1)$$

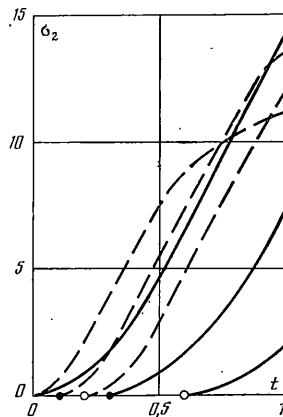
Отсюда с учетом определения $\sigma_{ij}^{\circ}=(I-L_{\tau^*(x_2)}^t)\sigma_{ij}/E$ для компонент тензора напряжения σ_{ij} ($i, j=1, 2$) как в исходном теле, так и в наращиваемой области окончательно получим следующие формулы ($R(t, \tau)$ — резольвента ядра $K(t, \tau)$):

$$\begin{aligned} \sigma_{ij}(x_1, x_2, t) &= E(t) \left\{ \frac{\sigma_{ij}(x_1, x_2, \tau_1)}{E(\tau_1)} \left[1 + \int_{\tau_1}^t R(t, \tau) d\tau \right] + \right. \\ &\left. + \int_{\tau_1}^t \left[\int_{\tau_1}^{\tau} \sigma_{ij}^{\circ}(x_1, x_2, \tau) + R(t, \tau) \int_{\tau_1}^{\tau} \sigma_{ij}^{\circ}(x_1, x_2, \xi) d\xi \right] d\tau \right\} \quad (x_2 \geq -b_0, t \geq \tau_1) \end{aligned} \quad (2.6)$$

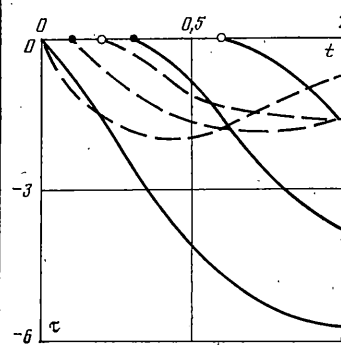
$$\begin{aligned} \sigma_{ij}(x_1, x_2, t) &= E(t) \int_{\tau^*(x_2)}^t \left[\sigma_{ij}^{\circ}(x_1, x_2, \tau) + \right. \\ &\left. + R(t, \tau) \int_{\tau^*(x_2)}^{\tau} \sigma_{ij}^{\circ}(x_1, x_2, \xi) d\xi \right] d\tau \quad (-b(t) \leq x_2 \leq -b_0, t \geq \tau_1) \end{aligned}$$



Фиг. 2



Фиг. 3



Фиг. 4

Таким образом, как следует из соотношений (2.6), на напряженное состояние в растущем вязкоупругом теле влияет вся история его загружения перед началом процесса наращивания (см. (2.5)). Пользуясь свойством меры ползучести, можно найти режимы загружения исходного тела, при которых в наращиваемой области напряжения будут весьма малы, а само наращивание (без натяга) почти не повлияет на напряженное состояние исходного тела. Действительно, при ограниченной ползучести $\lim_{t \rightarrow \infty} \partial C(t, \tau)/\partial t = 0$, тогда при постоянной силе $P(t)$ и достаточно длительном периоде между моментами нагружения и наращивания ($\tau_1 \gg \tau_0$) в соотношениях (2.5) $N(t)$ будет весьма малым, чем подтверждается справедливость сказанного выше. К тем же выводам приводит режим загружения, при котором усилие до начала наращивания длительное время является постоянным, независимо от его изменения в предыдущие моменты.

Указанные эффекты имеют и ясную механическую трактовку. Длительное воздействие постоянной нагрузки на тело в условиях ограниченной ползучести материала приводит к состоянию, когда тело перестает деформироваться. Дальнейшее его наращивание (ненапряженными элементами) дает картину, аналогичную наращиванию упругого тела при постоянной нагрузке (см. (1.9)).

3. Численный пример и анализ результатов. Рассмотрим случай наращивания упругой четвертьплоскости. Закон изменения силы и поверхности роста возьмем в виде $P(t) = P(0)(1+\alpha t)$, $b(t) = b_0(1+\beta t)$, где параметры α и β , характеризующие скорости изменения этих величин, имеют размерности, обратные времени. Введем безразмерные величины по формулам $x_1^\circ = x_1/b_0$, $x_2^\circ = x_2/b_0$, $t^\circ = \alpha t$, $b^\circ(t^\circ) = b(t)/b_0$, $P^\circ(t^\circ) = P(t)P^{-1}(0) \cdot 10^3$, $\gamma = \beta/\alpha$, $\tau^*(x_2^\circ) = \tau^*(x_2)\alpha$, $\sigma_1(x_1^\circ, x_2^\circ, t^\circ) = \sigma_{11}(x_1, x_2, t)b_0/P(0)$, $\sigma_2(x_1^\circ, x_2^\circ, t^\circ) = \sigma_{22}(x_1, x_2, t)b_0/P(0)$, $\tau(x_1^\circ, x_2^\circ, t^\circ) = \sigma_{12}(x_1, x_2, t)b_0/P(0)$.

Можно показать (индекс «ноль» вверху у безразмерных величин далее опустим), что напряжения σ_1 , σ_2 и τ зависят от $P(t) = (1+t) \cdot 10^3$, $b(t) = 1 + \gamma t$ и $t \geq 0$, где параметр γ характеризует отношение фактической скорости наращивания к скорости изменения реального усилия. Момент присоединения наращиваемых элементов задается формулой $\tau^*(x_2) = -(1+x_2)/\gamma$.

Исследуем изменения напряжений по времени в точках наращиваемой части тела в зависимости от скорости наращивания γ .

Кривые на графиках, относящиеся к случаю $\gamma = 1$, обозначим сплошными линиями, а $\gamma = 3$ — штриховыми. Выберем точки с горизонтальными координатами $x_2 = -1.0$, $x_2 = -1.3$ и $x_2 = -1.6$. Точки с координатой $x_2 = -1.0$ присоединяются к основному телу в момент $t = 0$. Моменты присоединения других точек (а значит, и моменты, с которых изучается напряженное состояние в этих точках) различны и зависят от скорости наращивания γ . Обозначим их на графиках для $x_2 = -1.3$ и $x_2 = -1.6$ сплошными и светлыми кружками соответственно.

На фиг. 2—4 показаны изменения нормальных и касательных напряжений по времени в зависимости от скорости роста для выбранных точек на глубине $x_1=0,1$. Графики показывают существенную зависимость напряжений от скорости наращивания — в фиксированной точке в один и тот же момент времени, но при различных скоростях роста напряжения сильно отличаются или даже имеют разные знаки. Например, в точке с координатами $x_1=0,1$ и $x_2=-1-0$ в момент времени $t=0,7$ напряжения σ_1 при скорости роста $\gamma=1$ в 27,3 раза больше, чем при скорости роста $\gamma=3$ (см. фиг. 2). В точке $x_1=0,1$ и $x_2=-1,3$ в момент $t=0,4$ напряжения σ_2 при скорости наращивания $\gamma=3$ превосходят те же напряжения при скорости наращивания $\gamma=1$ в 37 раз (см. фиг. 3).

Автор выражает благодарность А. В. Манжирову за полезное обсуждение работы.

ЛИТЕРАТУРА

1. Арутюнян Н. Х., Колмановский В. Б. Теория ползучести неоднородных тел. М.: Наука, 1983. 336 с.
2. Уфлянд Я. С. Интегральные преобразования в задачах теории упругости. М.—Л.: Наука, 1967. 402 с.
3. Маркушевич А. И. Краткий курс теории аналитических функций. М.: Наука, 1978. 416 с.
4. Владимиров В. С. Уравнения математической физики. М.: Наука, 1981. 512 с.
5. Арутюнян Н. Х. Некоторые вопросы теории ползучести. М.—Л.: Гостехиздат, 1952. 324 с.

Москва

Поступила в редакцию
21.X.1986